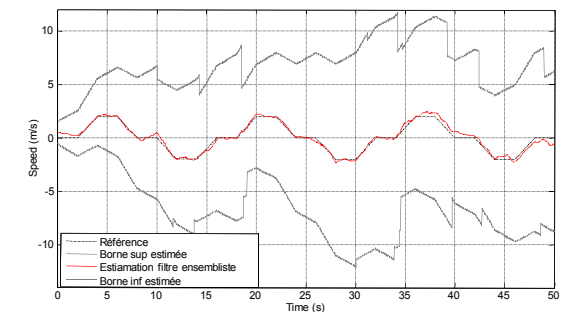
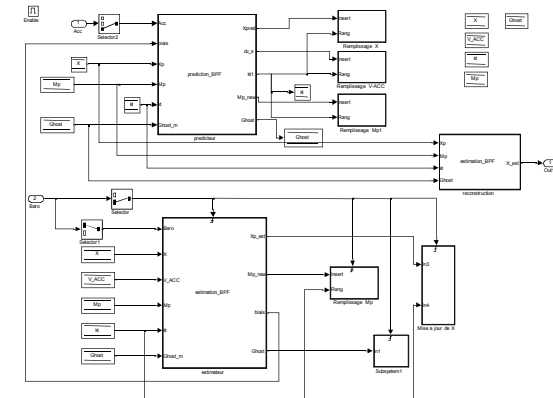
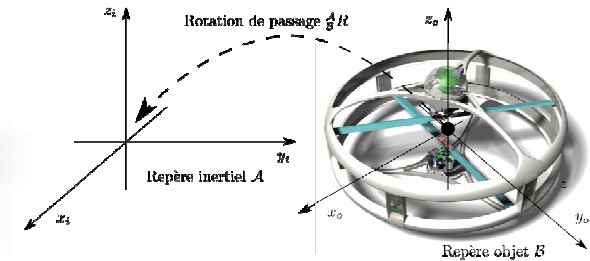


Fusion ensembliste accéléromètres-baromètre pour l'estimation de l'altitude d'un drone miniature

1/29

Sommaire

- Présentation du projet drone HÉRUS
- Fusion ensembliste
 - Calcul par intervalles
 - Propagation de contraintes
 - Filtrage particulière par pavés
 - Modèle d'altitude
 - Résultats de simulation
 - Autre



Sensory Control of Unmanned Aerial Vehicles

SCUAV

2/29

Travaux développés dans le cadre du projet ANR SCUAV

Partenaires : I3S, CEA-List, INRIA Sophia, INRIA Rennes,
Bertin Technologies, HeuDiaSyC

HeuDiaSyC :

Développement d'observateurs, fusion de données

Un intervalle de réels, noté $[x]$, est défini comme étant un sous-ensemble fermé et connecté de \mathbb{R} .

$[0; 4]$; $\{-1\}$; $[6; +\infty[$ sont des exemples d'intervalles

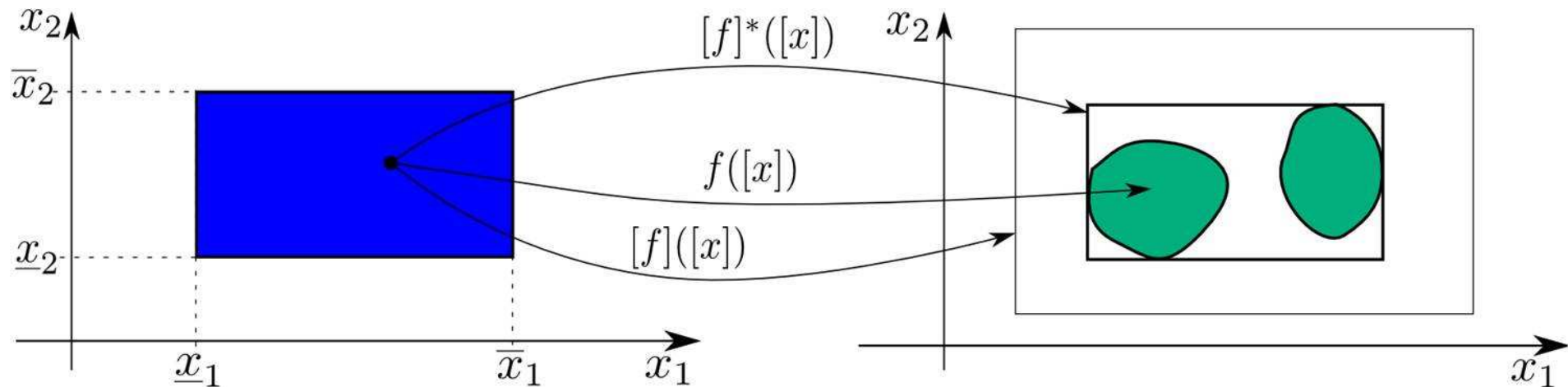
$[2; 3[$; $[2; 3] \cup [4; 7]$ ne le sont pas.

Un produit cartésien de n intervalles est un pavé de \mathbb{R}^n

$$[\mathbf{x}] = [x_1] \times [x_2] \times [x_3] \times \dots \times [x_n]$$

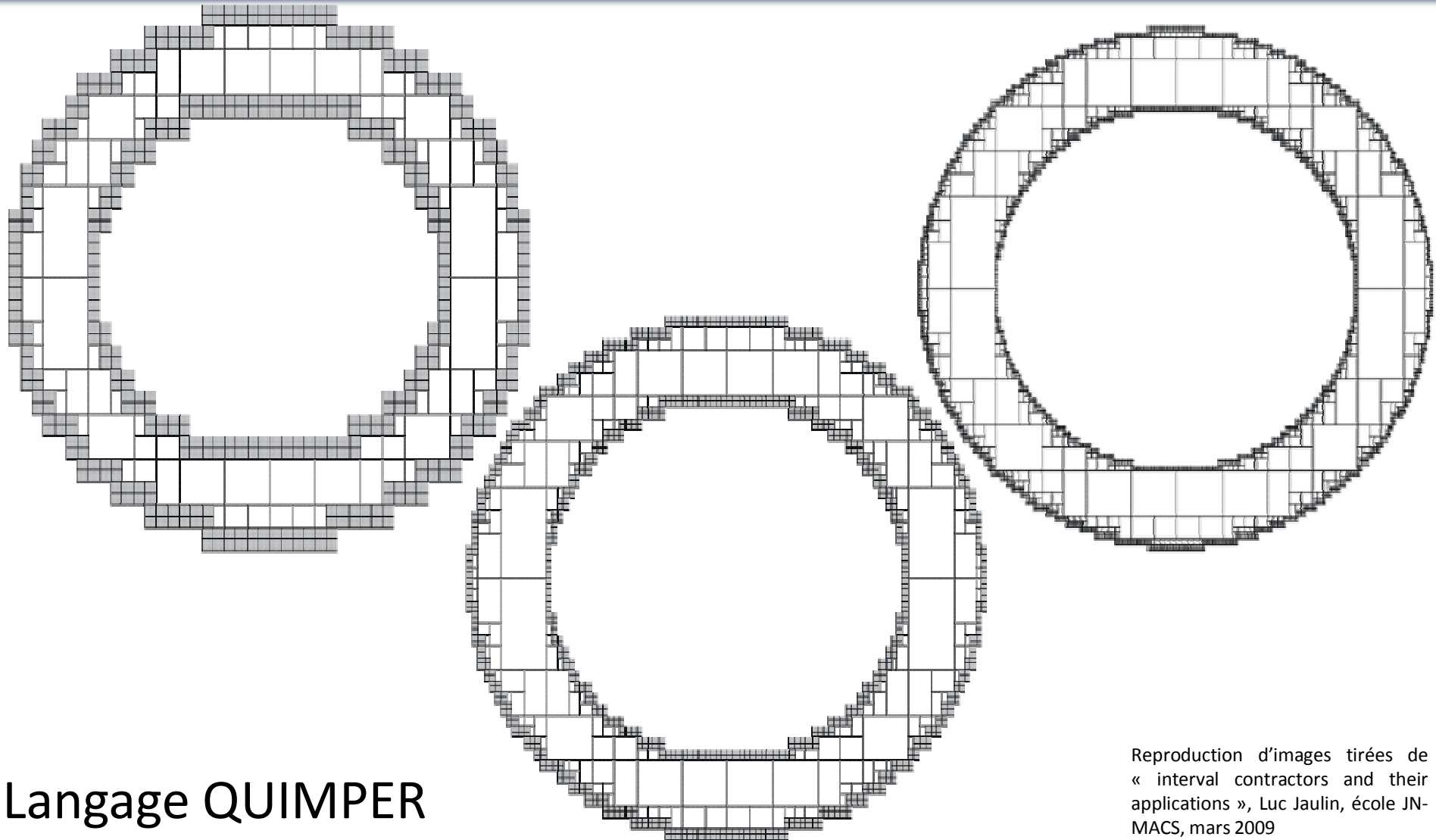
Les opérations arithmétiques sur les réels et celles entre les ensembles de \mathbb{R}^n sont définies

Il est possible de définir l'image $f([x])$ de $[x]$ par f



L'utilisation d'un pavé pour représenter l'ensemble des solutions introduit du pessimisme :

- propagation de contraintes
- bisection



Langage QUIMPER

Reproduction d'images tirées de
« interval contractors and their
applications », Luc Jaulin, école JN-
MACS, mars 2009

Définition 1

Soit \mathbb{IR}^n l'ensemble des intervalles de \mathbb{R}^n

Soit \mathbb{X} l'ensemble solution recherché.

L'opérateur $\mathcal{C}_{\mathbb{X}} : \mathbb{IR}^n \rightarrow \mathbb{IR}^n$ est un contracteur pour le sous-ensemble \mathbb{X} de \mathbb{R}^n s'il satisfait :

$$\forall [x] \in \mathbb{IR}^n, \left\{ \begin{array}{ll} \mathcal{C}_{\mathbb{X}}([x]) \subset [x] & \text{(contractance)} \\ \mathcal{C}_{\mathbb{X}}([x]) \cap \mathbb{X} = [x] \cap \mathbb{X} & \text{(complétude)} \end{array} \right.$$

Définition 2 (contrainte)

Une relation f une relation liant un certain nombre de variables x_i d'un vecteur x de \mathbb{R}^n , sous la forme d'une équation du type

$$f(x_1; \dots; x_n) = 0,$$

est appelée une contrainte.

Définition 3 (projection de contrainte).

Projeter une contrainte revient à calculer le plus petit intervalle \mathcal{S} qui contient toutes les valeurs consistantes pour cette contrainte.

$$x \in [1,5], y \in [2,4], z \in [6,10]$$

$$z = x + y$$

$$z = x + y \Rightarrow [6,10] \cap ([1,5] + [2,4]) = [6,10] \cap [3,9] = [6,9]$$

$$x = z - y \Rightarrow [1,5] \cap ([6,9] + [2,4]) = [1,5] \cap [2,7] = [2,5]$$

$$y = z - x \Rightarrow [2,4] \cap ([6,9] + [2,5]) = [2,4] \cap [1,7] = [2,4]$$

Définition 4

Soit un système de m contraintes $\mathcal{C} = \{f_1 ; f_2 ; \dots ; f_m\}$

liant les variables $\mathcal{V} = \{x_1 ; x_2 ; \dots ; x_n\}$

Domaines $\mathcal{D} = \{[x_1] ; [x_2] ; \dots ; [x_n]\}$.

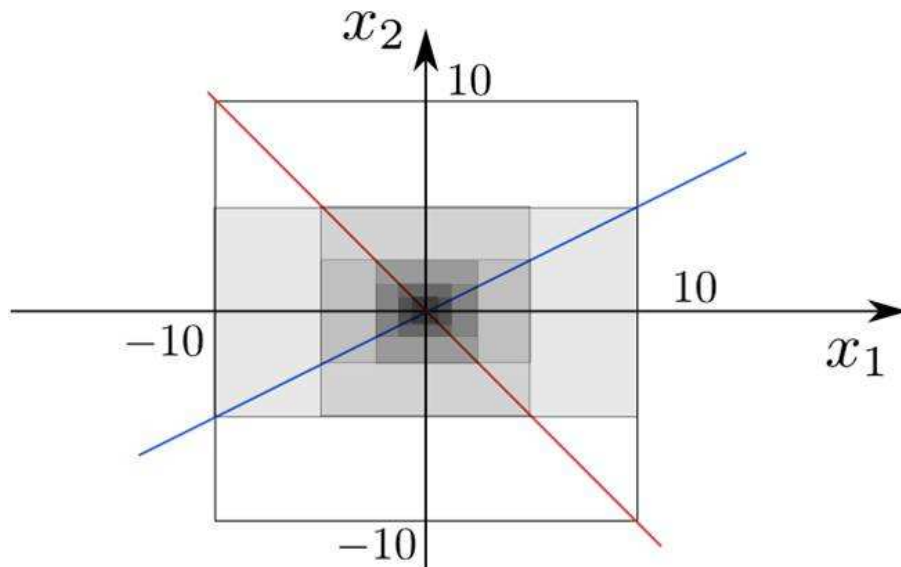
Résoudre un CSP : partant de \mathcal{D} et de \mathcal{C} , déterminer un domaine \mathcal{D}' aussi réduit que possible qui contient l'ensemble des valeurs de \mathcal{V} consistantes en respectant l'ensemble des contraintes

$$\mathcal{S} = \{\mathbf{x} \in [\mathbf{x}] \mid \mathbf{f}(\mathbf{x}) = 0\}$$

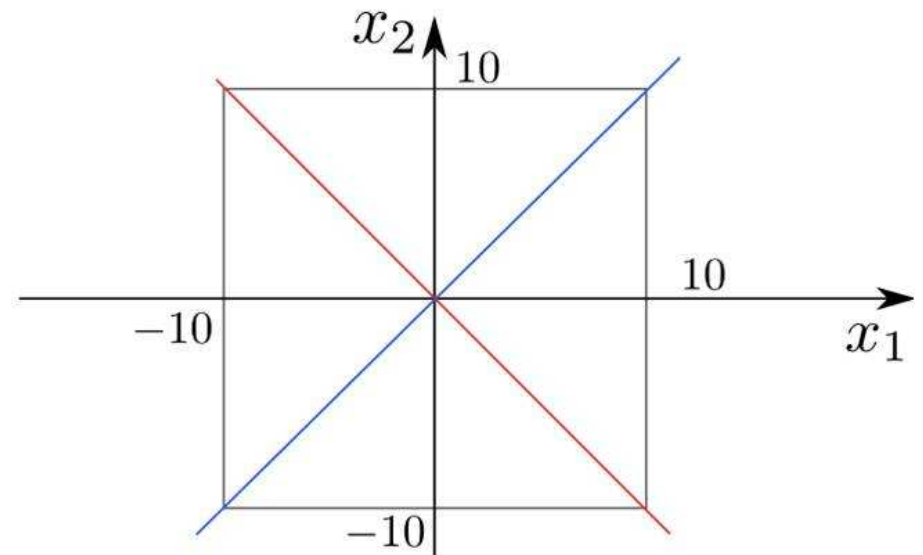
Il ne s'agit pas forcément d'un pavé, mais on peut s'en approcher par une collection de pavés.

$$\mathcal{H}_1 \left(\begin{array}{l} x_1 + x_2 = 0 \\ x_1 - 2x_2 = 0 \\ x_1 \in [10, 10] \\ x_2 \in [10, 10] \end{array} \right)$$

$$\mathcal{H}_2 \left(\begin{array}{l} x_1 + x_2 = 0 \\ x_1 - x_2 = 0 \\ x_1 \in [10, 10] \\ x_2 \in [10, 10] \end{array} \right)$$



(a)



(b)

- Décomposition de chaque contrainte en contraintes élémentaires binaires ou ternaires (un seul opérateur arithmétique par contrainte)

$$((((([x] \cap C_1) \cap C_2) \cap \dots) \cap C_m) \cap C_1) \cap C_2) \dots$$

- Intersections successives jusqu'à arrêt de la contraction

⇒ Contracteurs indépendants des non linéarités et localement consistants.

Soit la contrainte

$$z = x + \sin(y)$$

⇒ deux contraintes :

$$z = x + a$$

$$a = \sin(y)$$

a variable intermédiaire

$$[a] = [a] \cap [\sin]([y])$$

$$[z] = [z] \cap ([x] + [a])$$

...

$$[x] = [x] \cap ([z] - [a])$$

$$[a] = [a] \cap ([z] - [x])$$

$$[y] = [y] \cap [\arcsin]([a])$$

Considérons le système suivant :

$$\begin{aligned}x_{k+1} &= f(x_k, u_k, v_k) \\ y_k &= g(x_k, w_k)\end{aligned}$$

Filtre à particules : filtre de type estimateur prédictif utilisant des éléments ponctuels, réalisations de x_k fonction d'une génération aléatoire pour les bruits

Attribution de masses en fonction de la corrélation entre la positions prédites et l'estimée probable déduite de y_k .

Ré-échantillonnage périodique des particules

Remplacement d'un ensemble de particules ponctuelles par un pavé possédant une masse qui représente une approximation de la densité de probabilité d'avoir l'état contenu dans ce pavé.

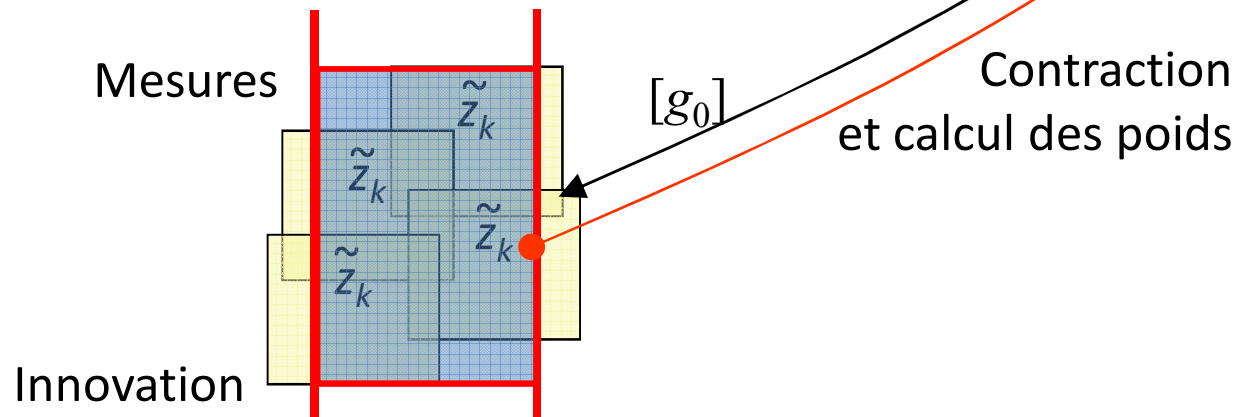
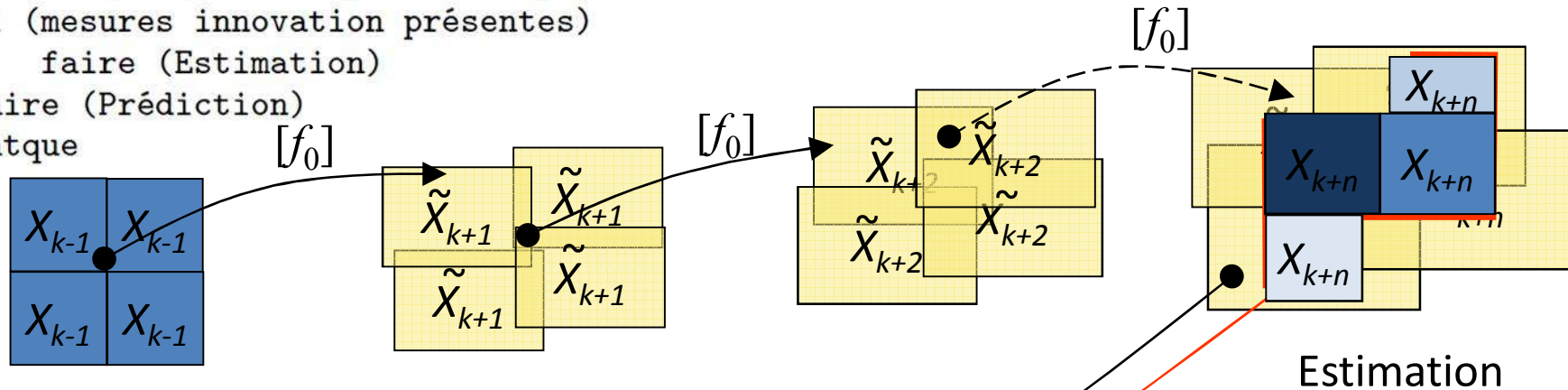
Utilisation des fonctions naturelles pour la prédiction et l'estimation :

$$\begin{aligned} [f_0] ([x_k], [u_k]) \\ [g_0] ([x_k]) \end{aligned}$$

Problème : dégénérescence rapide des pavés (enveloppement)


```

faire (initialisations)
faire tant que (nouveau pas de temps)
  Si (mesures innovation présentes)
    faire (Estimation)
  faire (Prédiction)
fintantque
    
```



fonction Prédiction $([x_k]_1, [x_k]_2, [x_k]_3, \dots, [x_k]_p, [u_k], O_p)$

faire pour $i = 1 \dots p$: $[x_{k+1}]_i = [f_0]([x_k]_i, [u_k])$

finfonction

fonction estimation $([x_k]_1, [x_k]_2, [x_k]_3, \dots, [x_k]_p, [y_k])$

faire pour chaque $[x_k]_i$ (prediction mesures) : $[z_k] = [g_0]([x_k]_i)$

faire (innovation) : $[r_k]_i = [y_k]_i \cap [z_k]_i$

faire pour $i = 1 \dots p$ si $[r_k]_i \neq \emptyset$ (Waltz) :

$[x_k]_i^{csp} = \text{CSP}([r_j]_i, [x_j]_i, [x_j]_i, [u_j], j = k - N, \dots, k)$

faire (mise à jour masse) : $\omega_i^{csp} = \frac{\|[x_k]_i^{csp}\|}{\|[x_k]_i\|} \omega_i$

faire (repavage) : $[x_k]_i^{new} = \text{repavage}([x_k]_i^{csp})$

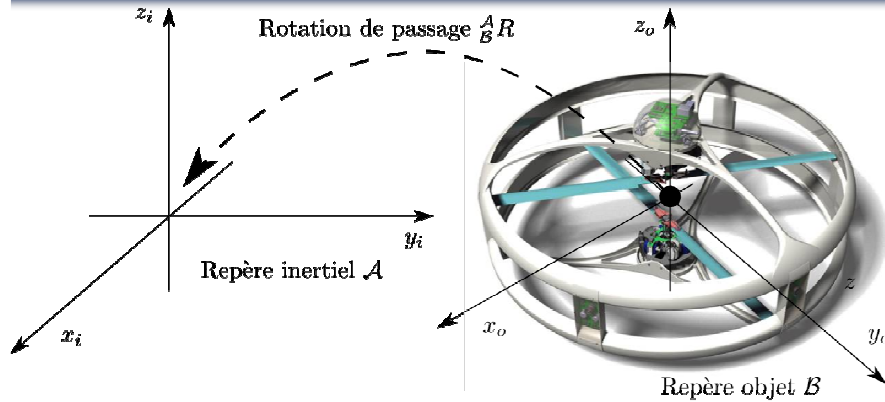
faire pour $i = 1 \dots p$ (propagation des masses) :

$\omega_i^{new} = \sum_{j=1}^p \|[x_k]_i^{new} \cap [x_k]_j^{csp}\| \omega_j^{csp}$

faire pour $i = 1 \dots p$ (normalisation masses) : $\omega_i^{new} = \frac{\omega_i^{new}}{\sum_{i=1}^p \omega_i^{new}}$

faire (estimation) : $\hat{x}_k = \sum_{i=1}^p \omega_i^{new} \text{centre}([x_k]_i^{new})$

finfonction



Modèle objet :

$$\dot{\gamma} = {}^A_B R a$$

$$\dot{\eta} = \gamma$$

avec $\gamma = (\dot{x}, \dot{y}, \dot{z})^T$

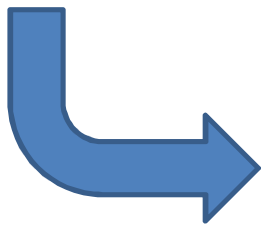
$$\text{et } \dot{\gamma} = {}^A_B R A + g_0 = u$$

Modèle selon la verticale :

$${}^z \gamma_{k+1} = {}^z \gamma_k + T_e {}^z u_k$$

$$z_{k+1} = z_k + T_e {}^z \gamma_k$$

$${}^z \gamma_k = {}^z \gamma_{k-N} + T_e \sum_{i=1}^N {}^z u_{k-i}$$



$$z_k = z_{k-N} + N T_e {}^z \gamma_k - T_e^2 \sum_{i=1}^N (N - i + 1) {}^z u_{k-i}$$

Contraintes :
$$z_k = z_{k-N} + N T_e {}^z \gamma_{k-N} + T_e^2 \sum_{i=1}^N (i - 1) {}^z u_{k-i}$$



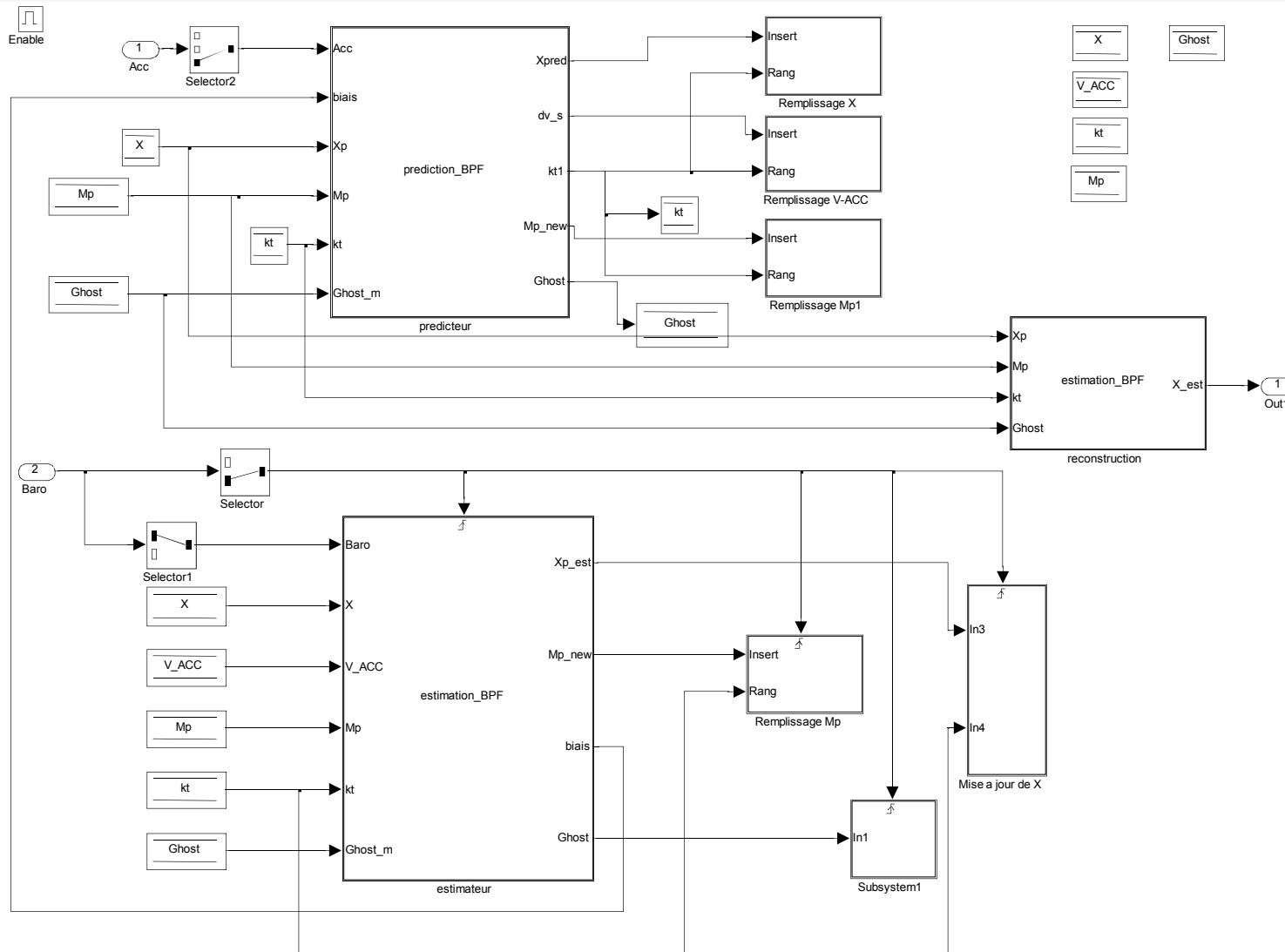
- Borne d'erreur pour les mesures des accéléromètres $\pm 1 \text{ m/s}^2$
- Borne d'erreur pour les mesures du baromètre $\pm 2 \text{ m}$
- Nombre de pas d'échantillonnage entre les innovations : 16

Résultats de simulation

SCUAV

19/29

Schéma de simulation

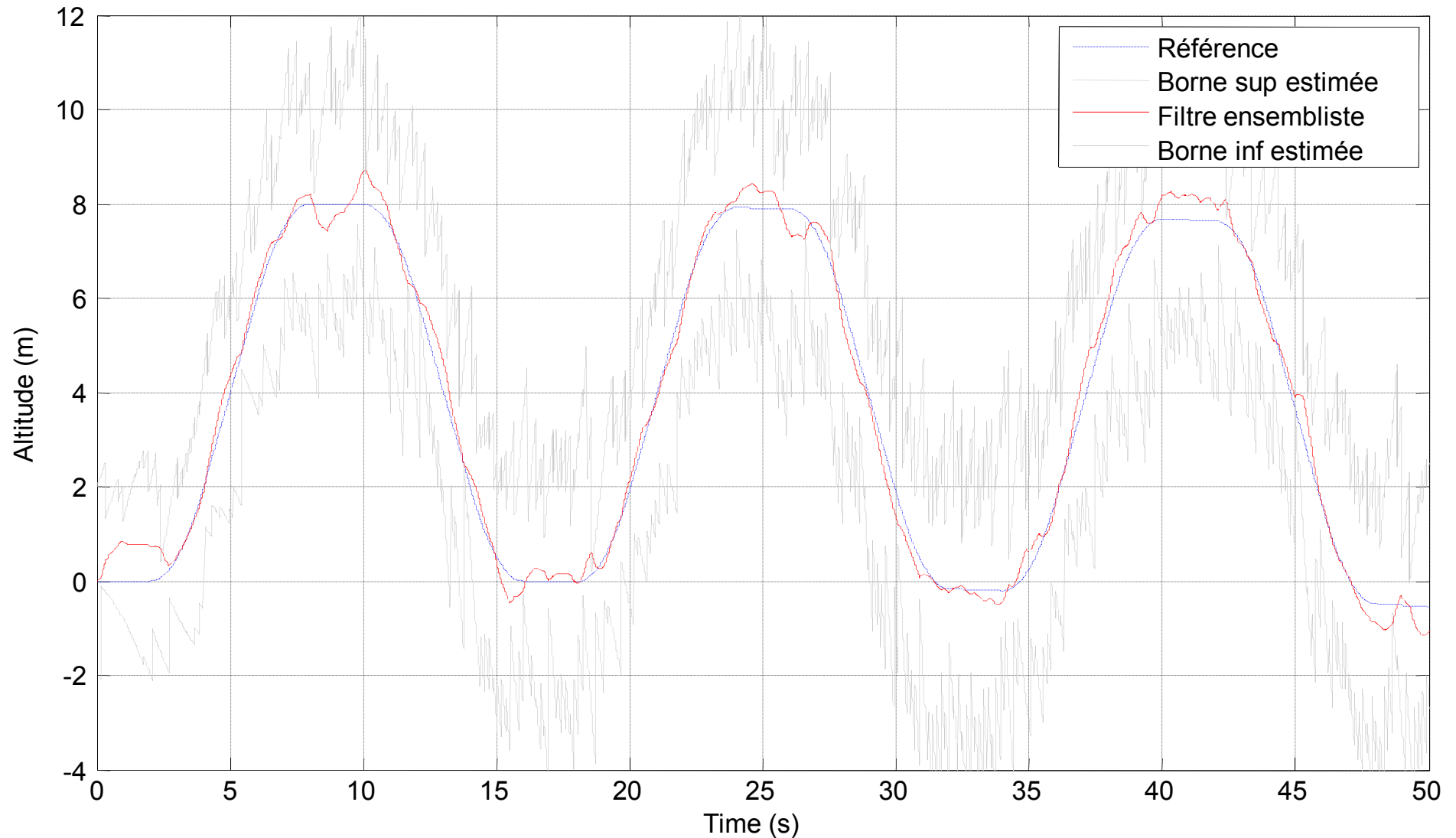


Résultats de simulation

SCUAV

20/29

Estimation de la position

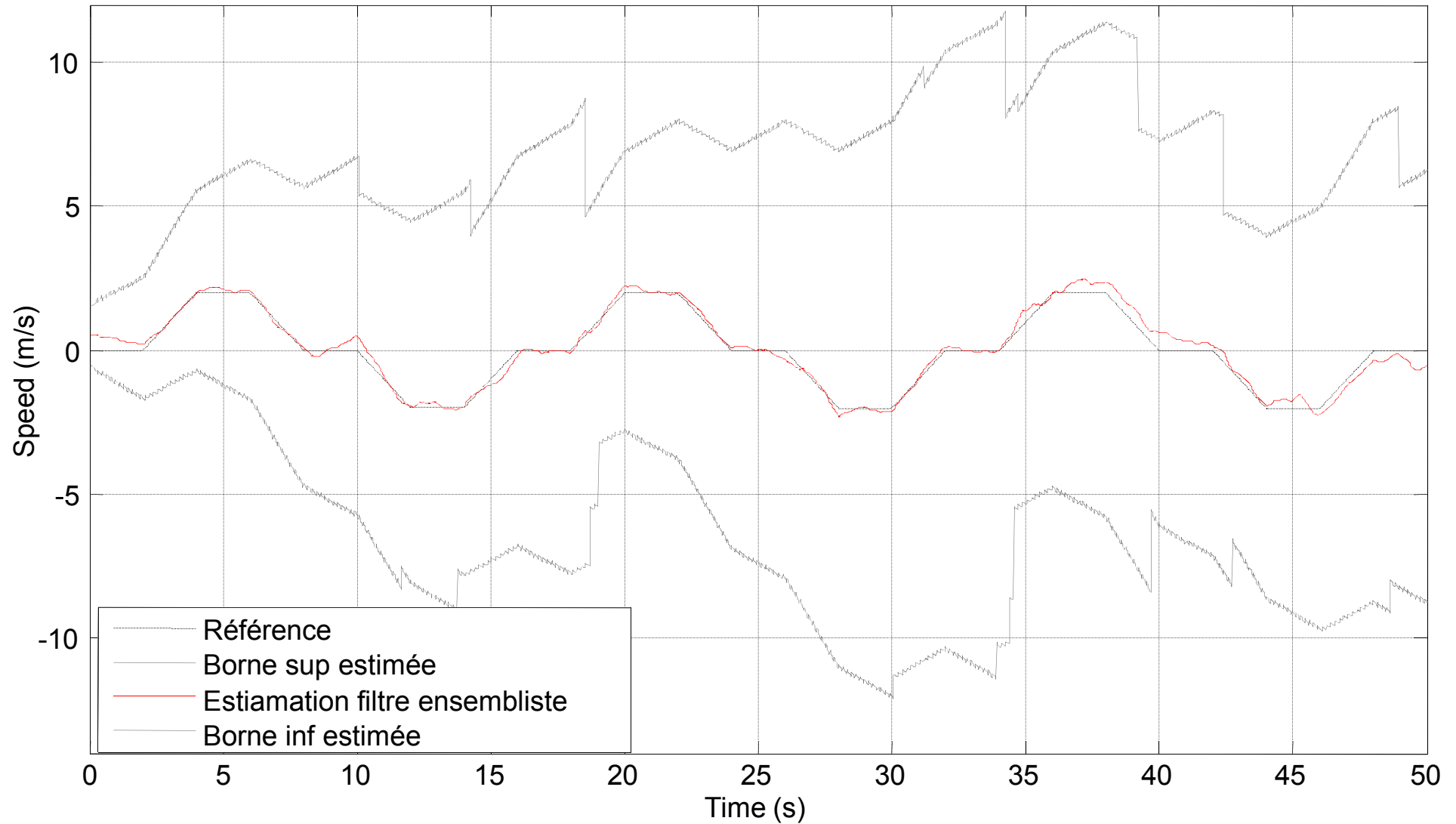


Résultats de simulation

SCUAV

21/29

Estimation de la vitesse

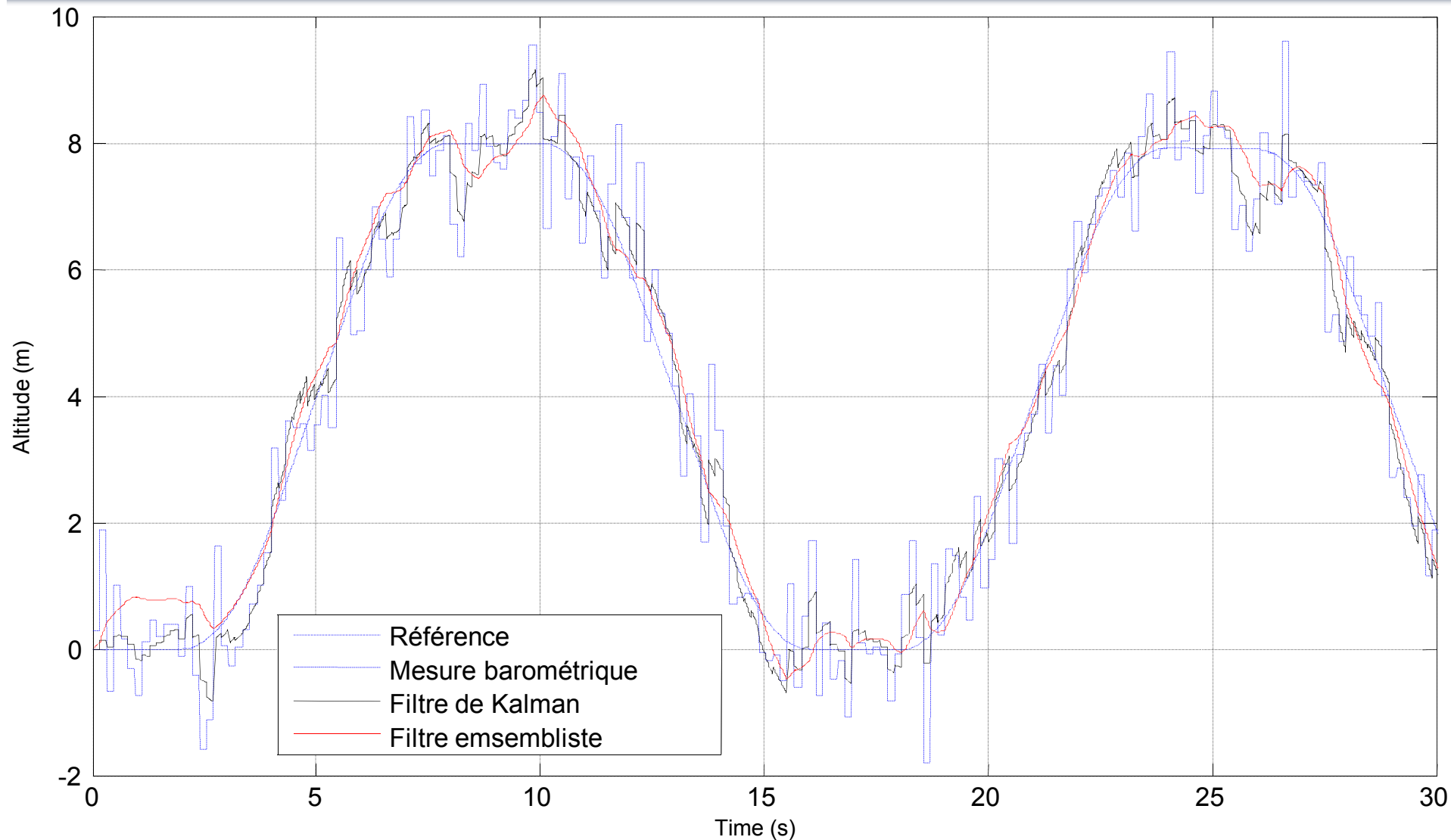


Résultats de simulation

SCUAV

22/29

Comparaison position

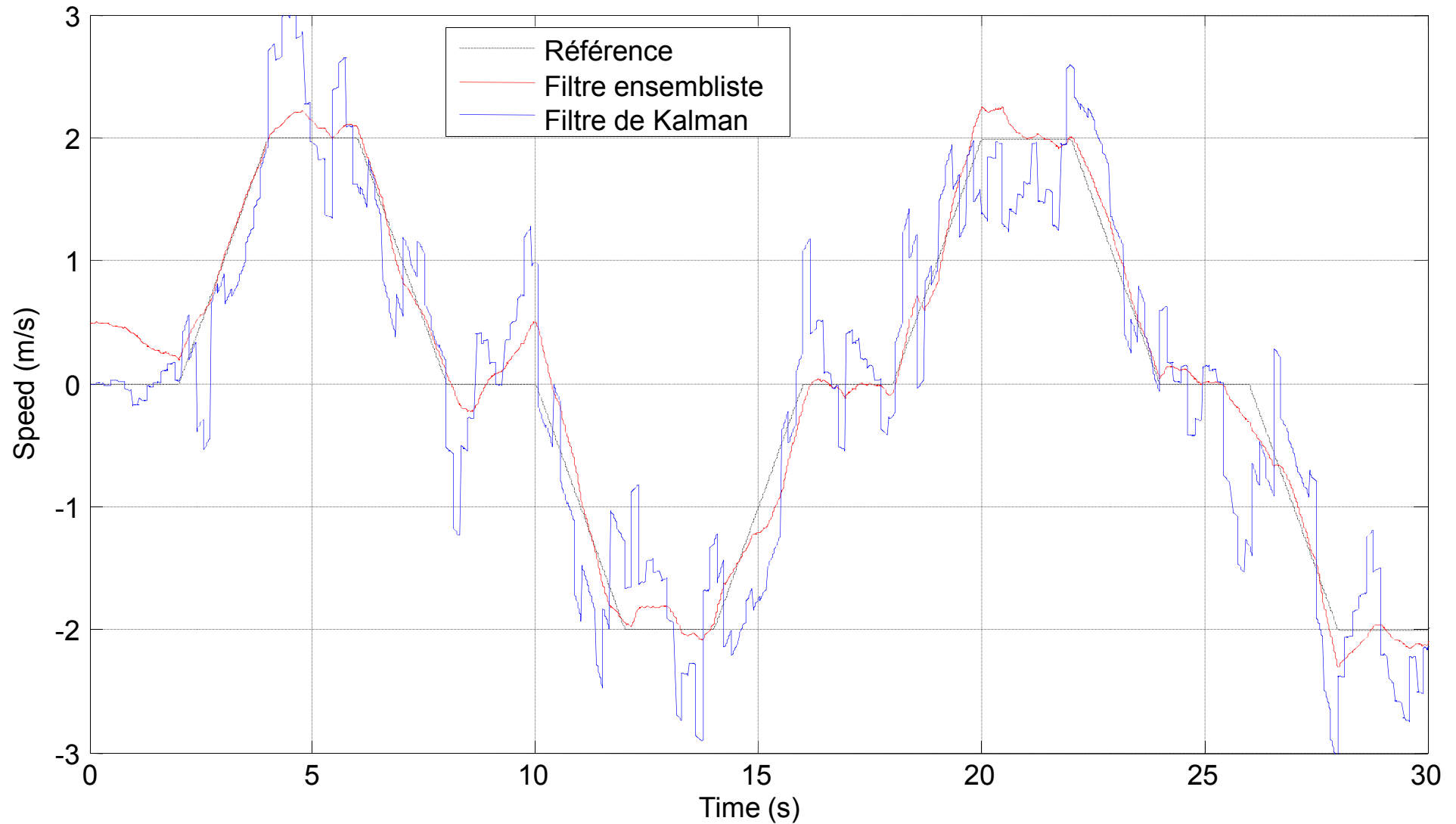


Résultats de simulation

SCUAV

23/29

Comparaison vitesse

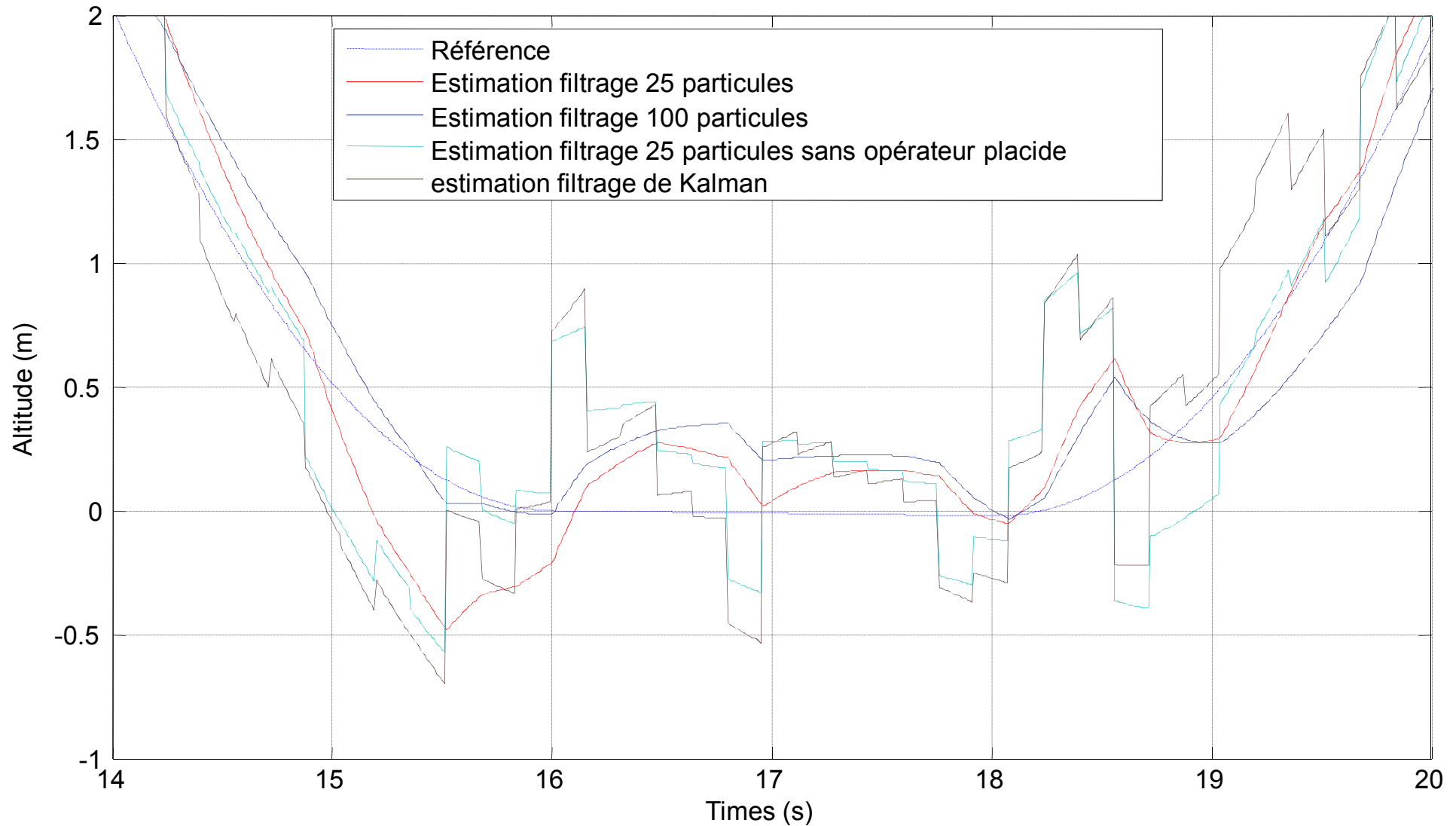


Résultats de simulation

SCUAV

24/29

Zoom position

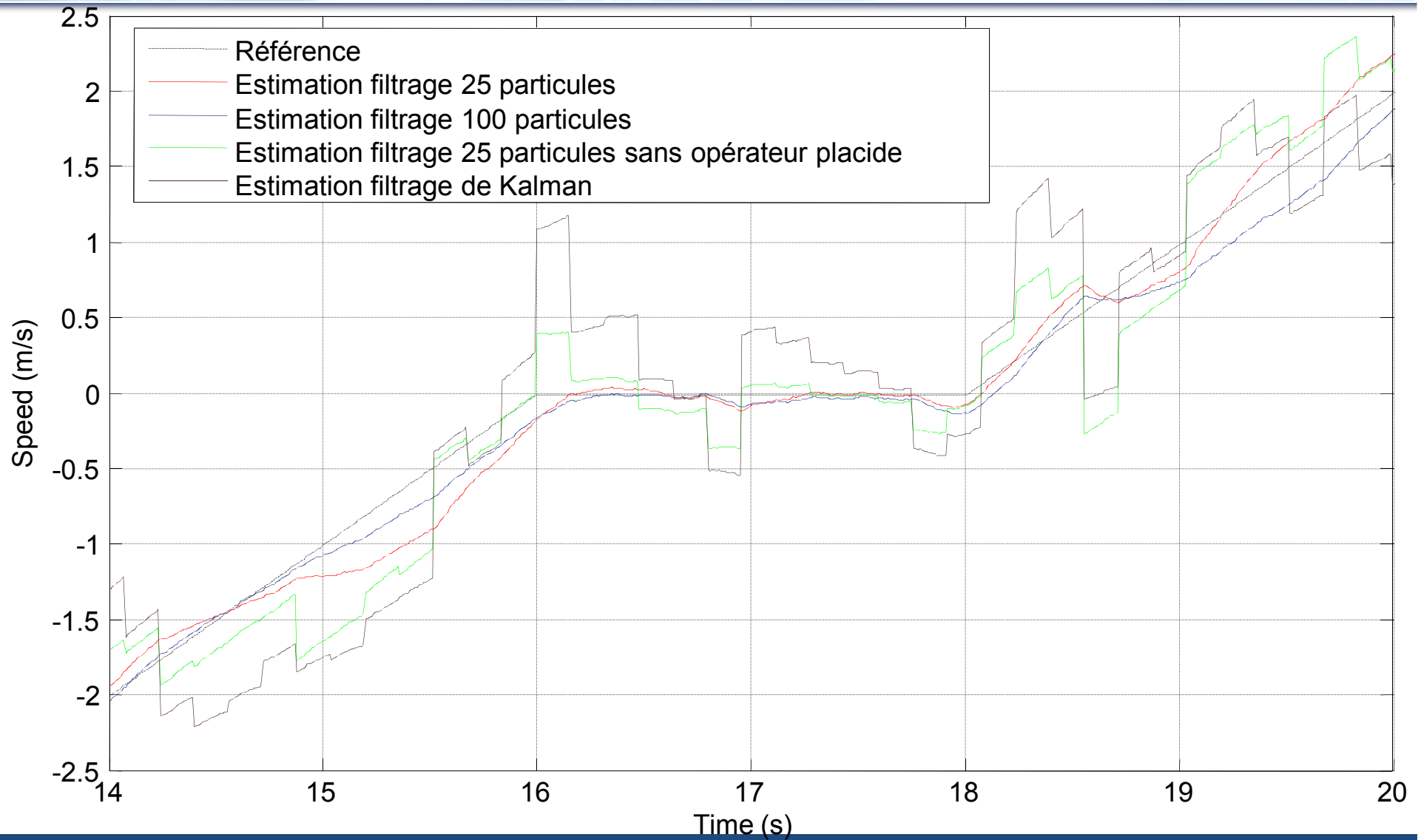


Résultats de simulation

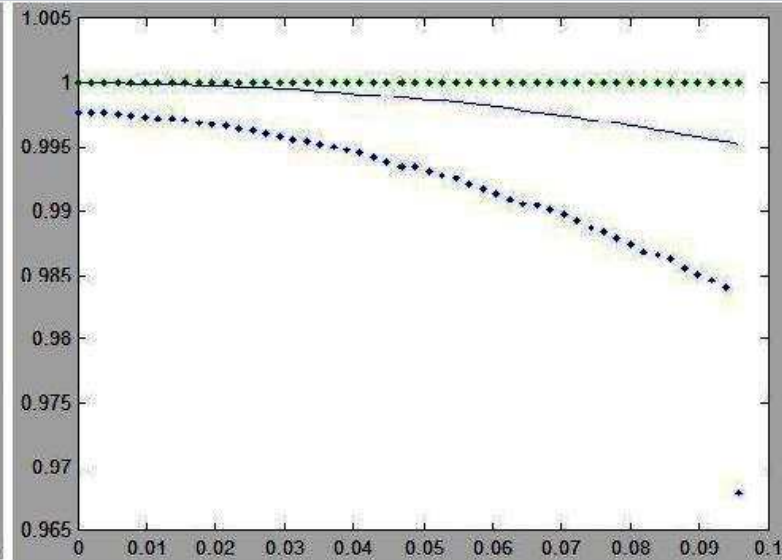
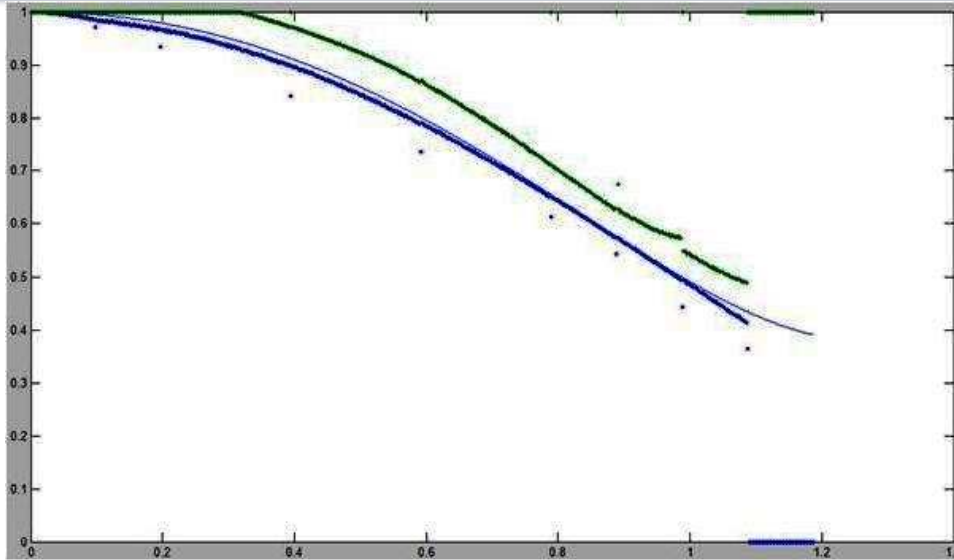
SCUAV

25/29

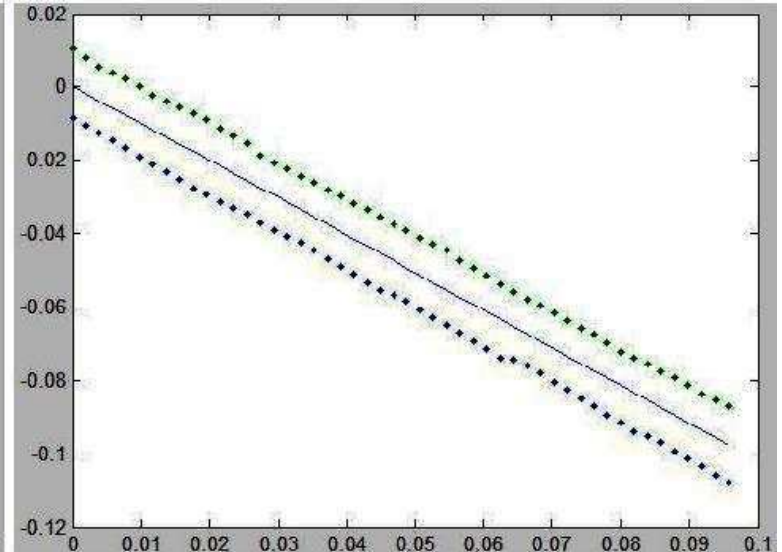
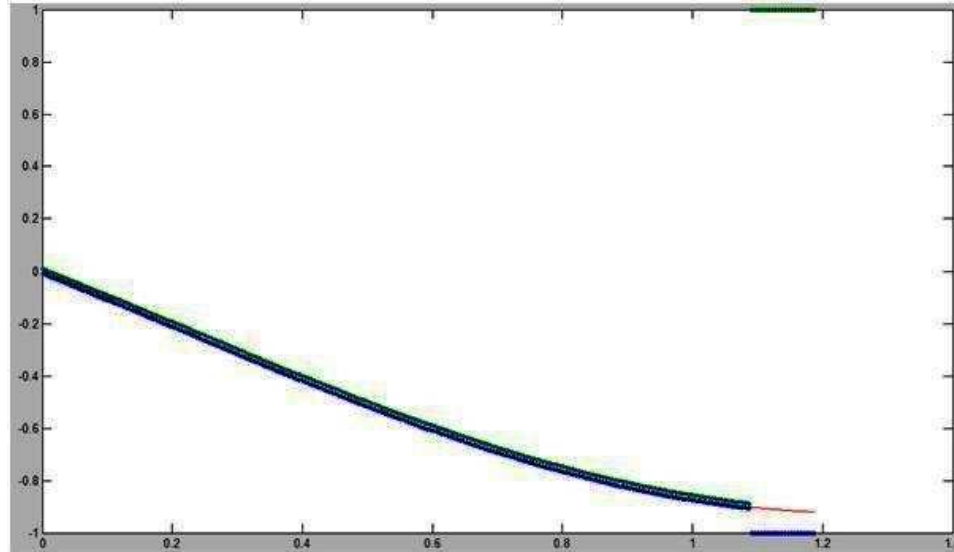
Zoom Vitesse



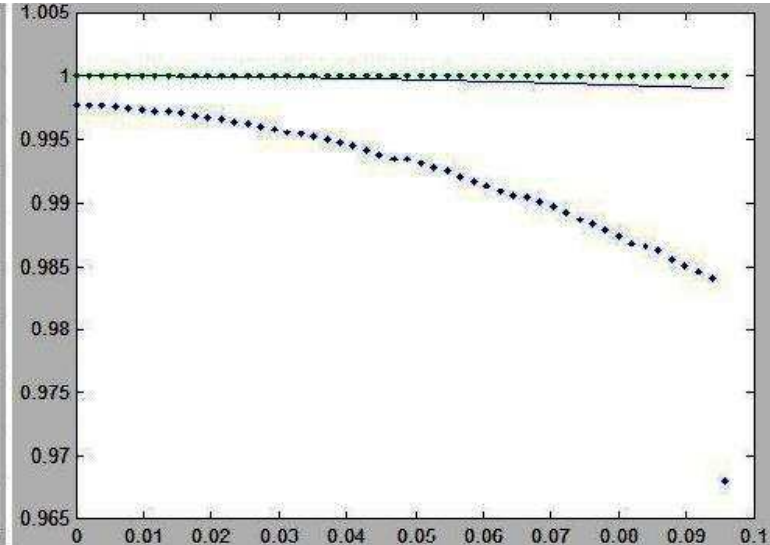
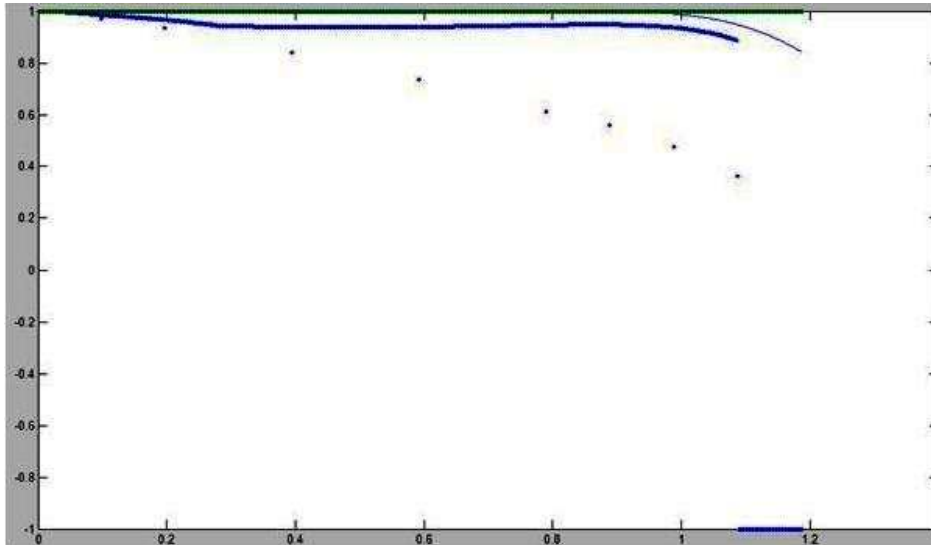
cos tangage



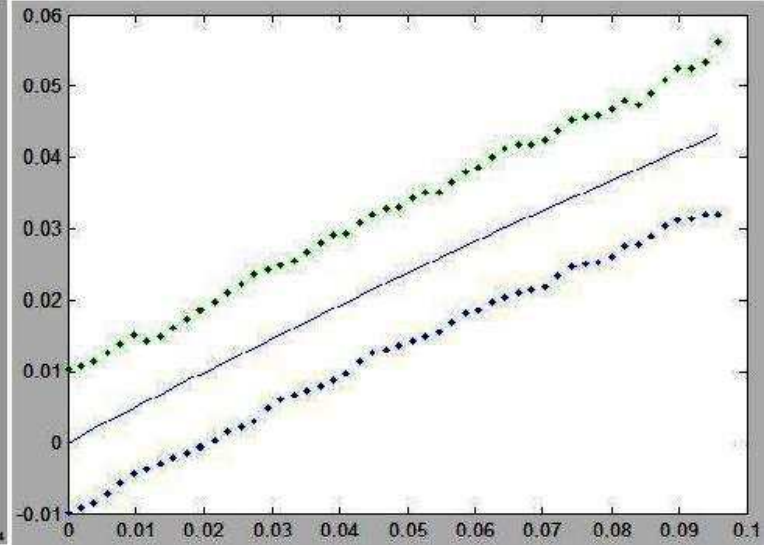
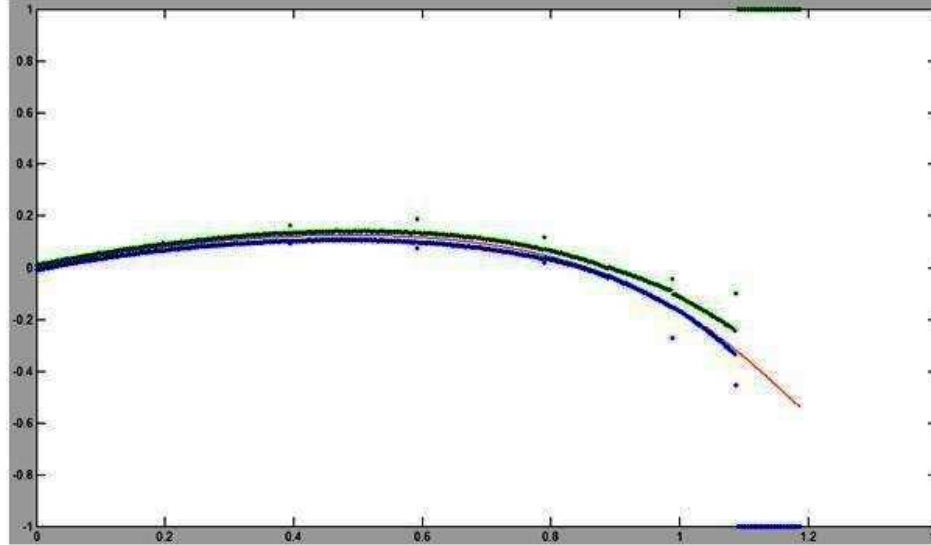
sin tangage



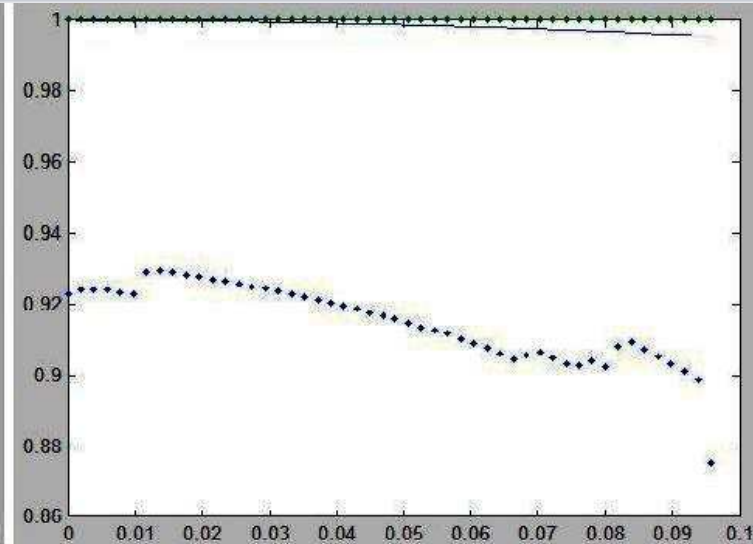
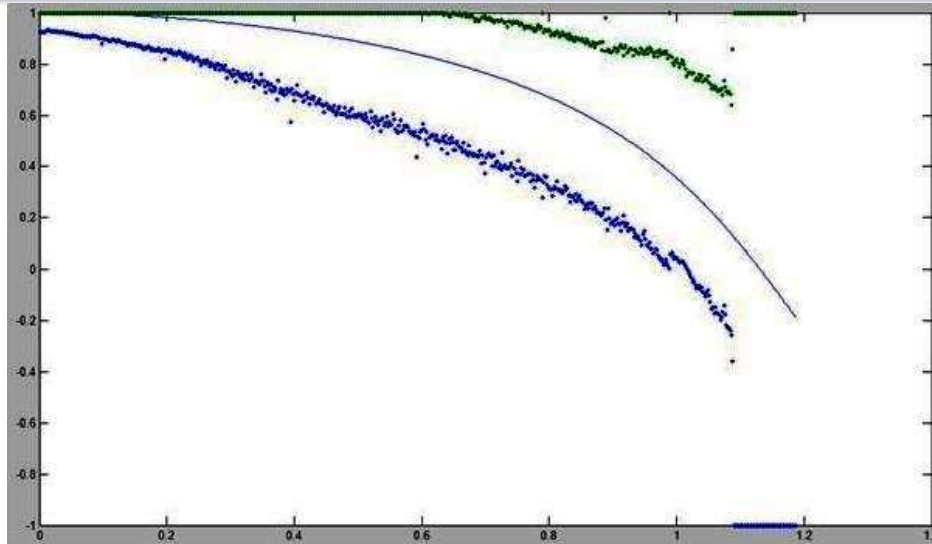
cos roulis



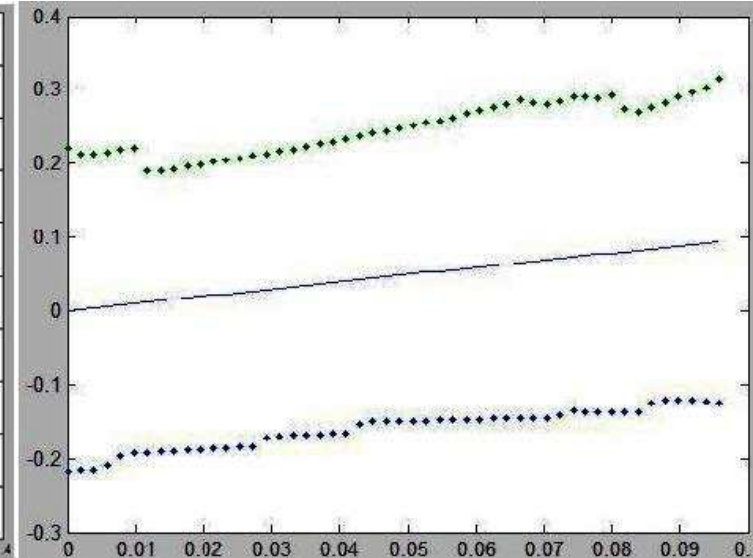
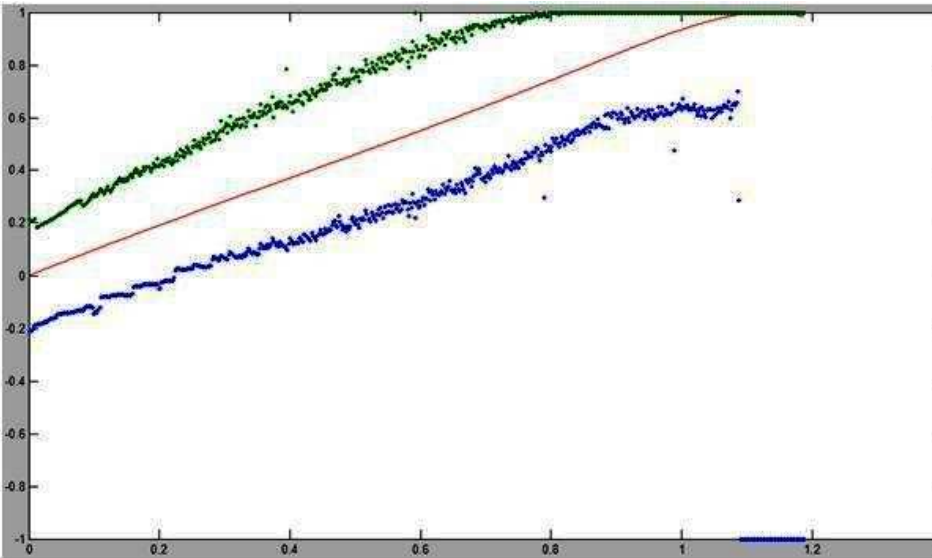
sin roulis



cos lacet



sin lacet



Questions

29/29

